

$^{181}\text{Ta}(\text{n},\gamma) \text{ E=0.002-3 keV} \quad 1977\text{St15}$ 

Type	Author	History Citation	Literature Cutoff Date
Full Evaluation	Balraj Singh	NDS 130, 21 (2015)	15-Jul-2015

$J^\pi(^{181}\text{Ta g.s.})=7/2^+$ .

**1977St15:** energies and intensities of primary  $\gamma$  rays were measured for 19 resonances in 4-200 eV region: 4.28, 4<sup>+</sup>; 10.34, 3<sup>+</sup>; 13.95, 4<sup>+</sup>; 20.3, 3<sup>+</sup>; 23.9, 4<sup>+</sup>; 30.0, 3<sup>+</sup>; 35.2, 3<sup>+</sup>; 35.9, 4<sup>+</sup>; 39.1, 4<sup>+</sup>; 49.2, 3<sup>+</sup>; 63.1, 4<sup>+</sup>; 82.9, 4<sup>+</sup>; 99.32, 3<sup>+</sup>; 103.5+105.5, 3<sup>+</sup>; 115.1, 4<sup>+</sup>; 126.5, 3<sup>+</sup>; 166.4, 4<sup>+</sup>; 194.8, 4<sup>+</sup>; 200.0, 3. The  $\gamma$ -ray spectra were summed over groups of resonances in the broad regions: 20-100, 100-200, 200-400, 600-1000, and 1000-3000 eV. From the relative strength of the primary  $\gamma$  rays in broad resonance capture, strong M1,E1 feeding of  $J=3,4$  levels was distinguished from weak M1,E1 feeding of  $J=2,5$  levels. Population of levels by discrete resonance capture primary  $\gamma$  rays provided a discrimination between  $J=2$  and  $J=5$ .

 $^{182}\text{Ta} \text{ Levels}$ 

E(level)	$J^\pi$	Dipole strength functions <sup>†</sup>	Comments
0.0	3 <sup>-</sup> ,4 <sup>-</sup>	1.74,1.28	
16.9 7	5 <sup>+</sup>	<0.01,0.10	
90.2? 17	5 <sup>+</sup> <sup>a</sup>	0.04,<0.01	
98.2 5	3 <sup>-</sup> ,4 <sup>-</sup>	2.35,2.16	
114.6 5	3 <sup>-</sup> ,4 <sup>-</sup>	1.62,1.09	
149.9 <sup>d</sup> 11			
173.0 5	5 <sup>-</sup>	<0.01,0.40	
237.3 5	5 <sup>-</sup>	0.07,0.62	
245.8 <sup>d</sup> 16			
251.5 10	3 <sup>+,4<sup>+</sup></sup>	0.17,0.15	
270.1 <sup>c</sup> 5	2 <sup>-</sup> <sup>b</sup>	0.98,0.19	
292.5 4	5 <sup>-</sup>	0.05,0.93	
359.6 13	3 <sup>-</sup> ,4 <sup>-</sup> <sup>#</sup>	0.28,0.25	
366.5 13	3 <sup>+,4<sup>+</sup></sup>	0.11,0.15	
458.2 <sup>d</sup> 12			
477.4 5	3 <sup>-</sup> ,4 <sup>-</sup>	1.15,0.67	
491.0 14	2 <sup>-</sup>	0.60,0.09	
505.4 6	5 <sup>+</sup>	<0.01,0.16	
547.0 5	3 <sup>-</sup> ,4 <sup>-</sup>	0.61,0.61	
566.5 5	3 <sup>-</sup> ,4 <sup>-</sup>	0.94,0.49	
571.8 <sup>d</sup> 22			
627.8 5	5 <sup>-</sup>	0.14,0.62	
650.5 5	3 <sup>-</sup> ,4 <sup>-</sup>	0.95,1.91	
659.2 5	2 <sup>-</sup> ,3 <sup>-</sup> ,4 <sup>-</sup>	1.27,0.51	<a href="#">Additional information 1.</a>
662.8 <sup>d</sup> 10			
667.9 14	2 <sup>-</sup>	1.00,<0.01	
701.1 5	5 <sup>-</sup>	0.17,0.78	
719.6 5	3 <sup>-</sup> ,4 <sup>-</sup>	0.93,0.40	
740.9 9	2 <sup>-</sup> ,3 <sup>-</sup> ,4 <sup>-</sup>	0.72,0.18	
781.9 5	5 <sup>-</sup>	0.06,2.46	
791.0 <sup>d</sup> 16			
816.7 5	3 <sup>-</sup> ,4 <sup>-</sup>	1.12,0.91	
830.5 <sup>d</sup> 16			
835.9 5	3 <sup>-</sup> ,4 <sup>-</sup>	0.62,0.80	
842.0 12	3 <sup>-</sup> ,4 <sup>-</sup> ,5 <sup>-</sup>	0.25,0.74	
856.1 5	3 <sup>-</sup> ,4 <sup>-</sup> <sup>#</sup>	0.41,0.23	
881.2 8	3 <sup>+,4<sup>+,5<sup>+</sup></sup></sup>	0.03,0.20	
897.5 5	3 <sup>-</sup> ,4 <sup>-</sup>	0.37,0.80	
910.3 5	5 <sup>-</sup>	0.01,1.31	

Continued on next page (footnotes at end of table)

$^{181}\text{Ta}(\mathbf{n},\gamma)$  E=0.002-3 keV    1977St15 (continued) $^{182}\text{Ta}$  Levels (continued)

E(level)	$J^{\pi \ddagger}$	Dipole strength functions <sup>†</sup>	E(level)	$J^{\pi \ddagger}$	Dipole strength functions <sup>†</sup>
914.7 5	$3^-, 4^-$	0.73, 0.78	1471.9 7	$3^-, 4^-$	1.16, 0.65
939.6 15	$5^-$	<0.01, 0.17	1479.7 5	$3^-, 4^-$	1.58, 1.74
960.0 15	$3^-, 4^- \#$	0.24, 0.29	1490.4 15	$3^-, 4^-$	0.81, 0.45
985.6 5	$3^-, 4^-$	0.74, 0.38	1496.4 5	$3^-, 4^-$	1.44, 1.66
999.8 8	$3^-, 4^-$	0.27, 0.20	1527.1 5	$3^-, 4^-$	0.29, 2.11
1021.6 15	$3^+, 4^+ \#$	0.16, 0.07	1538.1 15	$3, 4, 5$	0.68, 0.28
1028.4 6	$3^-, 4^-$	1.81, 0.25	1541.7 6	$3^-, 4^-$	0.77, 0.82
1049.9 9	$3^-, 4^-$	0.56, 0.54	1545.6 23	$2^-$	0.53, 0.23
1056.6 5	$3^-, 4^-$	0.85, 1.13	1551.6 5	$5^-$	0.01, <0.71
1082.0 5	$3^-, 4^-$	0.55, 1.45	1555.7 8	$5^-$	<0.01, 0.95
1101.2 8	$5^-$	0.02, 0.39	1570.8 12	$2^-$	0.49, 0.12
1113.6 5	$5^-$	0.20, 1.10	1577.2 8	$3^-, 4^-$	1.20, 0.93
1125.0 <sup>d</sup> 15			1582.3 6	$3^-, 4^-$	1.35, 2.23
1136.9 6	$3^-, 4^-$	0.27, 0.38	1604.9 17	$3^-, 4^-$	0.60, 1.91
1150.4 5	$3^-, 4^-$	0.45, 0.60	1612.0 8	$3^-, 4^-$	0.74, 0.42
1170.4 6	$3^-, 4^-$	0.31, 1.06	1617.5 25	$3^-, 4^-$	2.5, 1.11
1196.0 10	$2^-, 3^-, 4^-$	0.73, 0.29	1628.3 8	$3^-, 4^-$	0.40, 1.55
1203.1 18	$3^+, 4^+, 5^+$	0.27, 0.27	1635.6 8	$3^-, 4^-$	0.52, 0.54
1216.1 11	$2^-$	0.52, 0.05	1641.8 15	$3^-, 4^-$	0.59, 0.97
1229.7 5	$3^-, 4^-$	0.30, 1.77	1646.1 <sup>d</sup> 20	(2 to 5)	
1240.4 5	$3^-, 4^-$	0.76, 0.39	1650.5 27	$5^-$	<0.01, 0.87
1260.1 5	$3^-, 4^-$	0.97, 0.30	1657.6 6	$2^-, 3^-, 4^-$	1.10, 0.37
1269.5 5	$3^-, 4^-$	0.35, 1.74	1661.7 6	$5^-$	0.10, 0.75
1279.8 5	$3^-, 4^-$	0.42, 1.94	1667.0 <sup>d</sup> 15	(2 to 5)	
1284.4 5	$3^-, 4^-$	0.71, 0.47	1674.3 6	$3^-, 4^-$	0.55, 0.62
1298.6 10	(2 to 5)		1679.6 5	$3^-, 4^-$	0.98, 1.18
1302.5 6	$3^-, 4^-$	0.33, 0.70	1695.4 5	$3^-, 4^-$	1.30, 0.86
1321.0 15	$3^-, 4^-$	1.56, 1.04	1701.1 15	$3^-, 4^-$	0.55, 1.13
1326.0 22	$5^-$	<0.01, 0.80	1711.6 12	$3^-, 4^-$	1.50, 0.69
1350.5 9	$3^-, 4^-$	0.42, 0.68	1724.7 9	$3^-, 4^-$	0.38, 0.58
1360.4 8	$5^-$	0.15, 0.60	1734.1 9	$3, 4$	0.03, 0.19
1371.1 5	$3^-, 4^-$	1.06, 2.15	1746.5 9	$3^-, 4^-$	0.53, 2.19
1377.3 14	$3^-, 4^-$	1.59, 0.42	1756.3 14	$5^-$	<0.01, 0.16
1389.0 5	$3^-, 4^-$	1.33, 0.92	1762.5 12	$5^-$	<0.01, 0.63
1393.4 8	$3^-, 4^-$	0.72, 1.33	1765.9 <sup>d</sup> 19	(2 to 5)	
1416.7 15	$3^-, 4^-$	0.85, 0.21	1769.6 10	$3, 4$	0.22, 0.01
1445.1 16	$3^-, 4^-$	0.63, 1.26	1778.3 12	$3^-, 4^-$	0.56, 0.63
1452.2 30	$3^-, 4^-$	0.56, 0.55	(S(n)+x <sup>a</sup> e)	$3^+, 4^+ \text{ b}$	

<sup>†</sup> Dipole strength function is defined in 1977St15, it is proportional to  $(E\gamma)^{-3}$ , The units are  $(\text{MeV}^{-3} \times 10^7)$ . The first value is for  $J(\text{resonance})=3^+$ , second for  $4^+$  resonance.

<sup>‡</sup> As proposed by 1977St15 based on comparison of partial strength functions for dipole radiations (deduced from measured gamma-ray intensities and energies) with expected values for different spin combinations.

<sup>#</sup> Parity from averaged  $\gamma$ -ray spectra.

<sup>@</sup>  $3^+, 4^+$  not completely ruled out.

<sup>&</sup>  $3^-, 4^-$  not completely ruled out.

<sup>a</sup> S(n)+E(n), where E(n)=0.002-3 keV, S(n)=6062.94 11 (2012Wa38).

<sup>b</sup> s-wave capture in  $^{181}\text{Ta}$  (g.s.  $J^\pi=7/2^+$ ).

<sup>c</sup> This doublet was predicted by 1977St15 and confirmed by 1979Va10.

<sup>d</sup> According to 1977St15, this level is seen only in averaged resonance capture data, not from any of the individual resonances.

<sup>e</sup> x=E(n).

**$^{181}\text{Ta}(n,\gamma) E=0.002\text{-}3 \text{ keV} \quad 1977\text{St15} \text{ (continued)}$**  $\gamma(^{182}\text{Ta})$ 

x=E(n).

$E_\gamma^\dagger$	$E_i(\text{level})$	$J_i^\pi$	$E_f$	$J_f^\pi$	$E_\gamma^\dagger$	$E_i(\text{level})$	$J_i^\pi$	$E_f$	$J_f^\pi$
4284.6	(S(n)+x)	$3^+, 4^+$			4793.4	(S(n)+x)	$3^+, 4^+$	1769.6	$3, 4$
4293.3	(S(n)+x)	$3^+, 4^+$			4802.8	(S(n)+x)	$3^+, 4^+$	1762.5	$5^-$
4297.0	(S(n)+x)	$3^+, 4^+$			4822.5	(S(n)+x)	$3^+, 4^+$	1746.5	$3^-, 4^-$
4300.4	(S(n)+x)	$3^+, 4^+$			4833.2	(S(n)+x)	$3^+, 4^+$	1734.1	$3, 4$
4306.6	(S(n)+x)	$3^+, 4^+$			4846.8	(S(n)+x)	$3^+, 4^+$	1711.6	$3^-, 4^-$
4316.4	(S(n)+x)	$3^+, 4^+$			4859.8	(S(n)+x)	$3^+, 4^+$	1701.1	$3^-, 4^-$
4328.8	(S(n)+x)	$3^+, 4^+$			4866.9	(S(n)+x)	$3^+, 4^+$	1695.4	$3^-, 4^-$
4338.2	(S(n)+x)	$3^+, 4^+$			4892.5	(S(n)+x)	$3^+, 4^+$	1667.0	(2 to 5)
4351.3	(S(n)+x)	$3^+, 4^+$			4912.5	(S(n)+x)	$3^+, 4^+$	1650.5	$5^-$
4361.8	(S(n)+x)	$3^+, 4^+$			4926.0	(S(n)+x)	$3^+, 4^+$	1635.6	$3^-, 4^-$
4367.5	(S(n)+x)	$3^+, 4^+$			4937.9	(S(n)+x)	$3^+, 4^+$	1628.3	$3^-, 4^-$
4383.3	(S(n)+x)	$3^+, 4^+$			4949.3	(S(n)+x)	$3^+, 4^+$	1612.0	$3^-, 4^-$
4388.6	(S(n)+x)	$3^+, 4^+$			4961.7	(S(n)+x)	$3^+, 4^+$	1604.9	$3^-, 4^-$
4395.9	(S(n)+x)	$3^+, 4^+$			4980.9	(S(n)+x)	$3^+, 4^+$	1582.3	$3^-, 4^-$
4401.2	(S(n)+x)	$3^+, 4^+$			5006.3	(S(n)+x)	$3^+, 4^+$	1555.7	$5^-$
4405.3	(S(n)+x)	$3^+, 4^+$			5013.0	(S(n)+x)	$3^+, 4^+$	1551.6	$5^-$
4412.4	(S(n)+x)	$3^+, 4^+$			5034.5	(S(n)+x)	$3^+, 4^+$	1527.1	$3^-, 4^-$
4416.8	(S(n)+x)	$3^+, 4^+$			5041.3	(S(n)+x)	$3^+, 4^+$		
4421.1	(S(n)+x)	$3^+, 4^+$			5063.1	(S(n)+x)	$3^+, 4^+$	1496.4	$3^-, 4^-$
4427.3	(S(n)+x)	$3^+, 4^+$			5077.3	(S(n)+x)	$3^+, 4^+$	1490.4	$3^-, 4^-$
4434.6	(S(n)+x)	$3^+, 4^+$			5102.9	(S(n)+x)	$3^+, 4^+$	1452.2	$3^-, 4^-$
4445.4	(S(n)+x)	$3^+, 4^+$			5123.3	(S(n)+x)	$3^+, 4^+$	1445.1	$3^-, 4^-$
4450.9	(S(n)+x)	$3^+, 4^+$			5148.2	(S(n)+x)	$3^+, 4^+$	1416.7	$3^-, 4^-$
4458.0	(S(n)+x)	$3^+, 4^+$			5152.6	(S(n)+x)	$3^+, 4^+$		
4480.6	(S(n)+x)	$3^+, 4^+$			5165.4	(S(n)+x)	$3^+, 4^+$	1393.4	$3^-, 4^-$
4485.7	(S(n)+x)	$3^+, 4^+$			5181.7	(S(n)+x)	$3^+, 4^+$	1377.3	$3^-, 4^-$
4492.1	(S(n)+x)	$3^+, 4^+$			5206.8	(S(n)+x)	$3^+, 4^+$	1360.4	$5^-$
4507.2	(S(n)+x)	$3^+, 4^+$			5220.9	(S(n)+x)	$3^+, 4^+$	1350.5	$3^-, 4^-$
4511.3	(S(n)+x)	$3^+, 4^+$			5227.0	(S(n)+x)	$3^+, 4^+$		
4517.3	(S(n)+x)	$3^+, 4^+$			5232.4	(S(n)+x)	$3^+, 4^+$	1326.0	$5^-$
4521.2	(S(n)+x)	$3^+, 4^+$			5246.2	(S(n)+x)	$3^+, 4^+$	1321.0	$3^-, 4^-$
4524.8	(S(n)+x)	$3^+, 4^+$			5271.9	(S(n)+x)	$3^+, 4^+$	1284.4	$3^-, 4^-$
4535.8	(S(n)+x)	$3^+, 4^+$			5281.0	(S(n)+x)	$3^+, 4^+$	1279.8	$3^-, 4^-$
4566.5	(S(n)+x)	$3^+, 4^+$			5322.0	(S(n)+x)	$3^+, 4^+$	1240.4	$3^-, 4^-$
4572.5	(S(n)+x)	$3^+, 4^+$			5343.3	(S(n)+x)	$3^+, 4^+$	1216.1	$2^-$
4583.2	(S(n)+x)	$3^+, 4^+$			5361.8	(S(n)+x)	$3^+, 4^+$	1203.1	$3^+, 4^+, 5^+$
4591.0	(S(n)+x)	$3^+, 4^+$			5395.0	(S(n)+x)	$3^+, 4^+$	1170.4	$3^-, 4^-$
4610.7	(S(n)+x)	$3^+, 4^+$			5400.1	(S(n)+x)	$3^+, 4^+$		
4617.8	(S(n)+x)	$3^+, 4^+$			5403.7	(S(n)+x)	$3^+, 4^+$		
4646.2	(S(n)+x)	$3^+, 4^+$			5412.4	(S(n)+x)	$3^+, 4^+$	1150.4	$3^-, 4^-$
4669.5	(S(n)+x)	$3^+, 4^+$			5435.1	(S(n)+x)	$3^+, 4^+$	1125.0	
4673.9	(S(n)+x)	$3^+, 4^+$			5491.1	(S(n)+x)	$3^+, 4^+$		
4685.6	(S(n)+x)	$3^+, 4^+$			5496.4	(S(n)+x)	$3^+, 4^+$		
4691.8	(S(n)+x)	$3^+, 4^+$			5515.9	(S(n)+x)	$3^+, 4^+$	1049.9	$3^-, 4^-$
4702.5	(S(n)+x)	$3^+, 4^+$			5557.5	(S(n)+x)	$3^+, 4^+$	999.8	$3^-, 4^-$
4712.4	(S(n)+x)	$3^+, 4^+$			5571.9	(S(n)+x)	$3^+, 4^+$	985.6	$3^-, 4^-$
4736.9	(S(n)+x)	$3^+, 4^+$			5585.5	(S(n)+x)	$3^+, 4^+$		
4741.9	(S(n)+x)	$3^+, 4^+$			5604.7	(S(n)+x)	$3^+, 4^+$	960.0	$3^-, 4^-$
4760.4	(S(n)+x)	$3^+, 4^+$			5696.3	(S(n)+x)	$3^+, 4^+$		
4764.3	(S(n)+x)	$3^+, 4^+$			5703.2	(S(n)+x)	$3^+, 4^+$	856.1	$3^-, 4^-$
4778.5	(S(n)+x)	$3^+, 4^+$			5770.3	(S(n)+x)	$3^+, 4^+$	791.0	
4783.1	(S(n)+x)	$3^+, 4^+$	1778.3	$3^-, 4^-$	5792.7	(S(n)+x)	$3^+, 4^+$		

Continued on next page (footnotes at end of table)

$^{181}\text{Ta}(n,\gamma)$  E=0.002-3 keV    1977St15 (continued) $\gamma(^{182}\text{Ta})$  (continued)

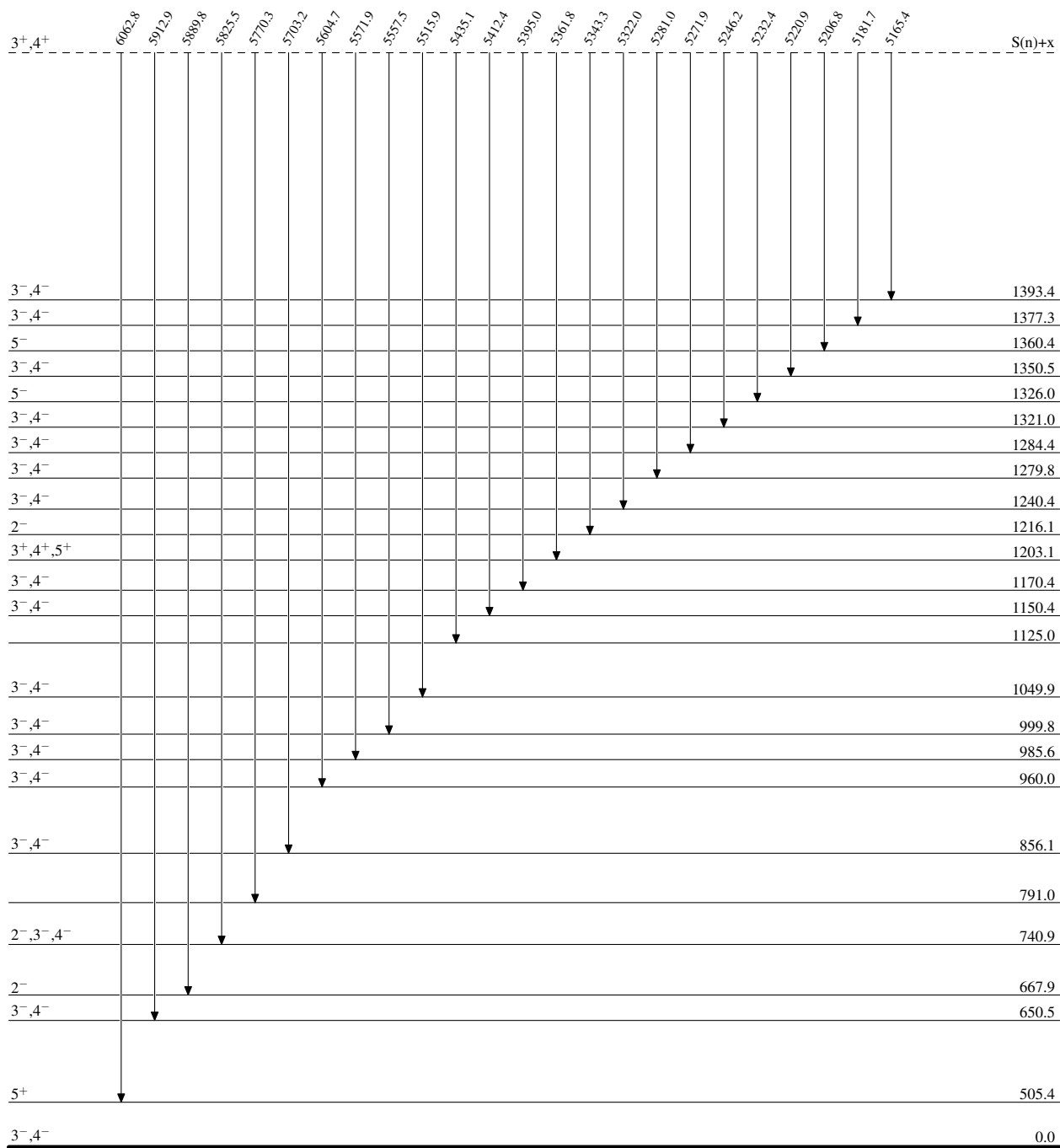
$E_\gamma^\dagger$	$E_i(\text{level})$	$J_i^\pi$	$E_f$	$J_f^\pi$	$E_\gamma^\dagger$	$E_i(\text{level})$	$J_i^\pi$	$E_f$	$J_f^\pi$
5811.3	(S(n)+x)	$3^+, 4^+$			5948.2	(S(n)+x)	$3^+, 4^+$		
5817.0	(S(n)+x)	$3^+, 4^+$			5964.6	(S(n)+x)	$3^+, 4^+$		
5825.5	(S(n)+x)	$3^+, 4^+$	740.9	$2^-, 3^-, 4^-$	5972.6 <sup>‡</sup>	(S(n)+x)	$3^+, 4^+$		
5889.8	(S(n)+x)	$3^+, 4^+$	667.9	$2^-$	6045.9	(S(n)+x)	$3^+, 4^+$		
5912.9	(S(n)+x)	$3^+, 4^+$	650.5	$3^-, 4^-$	6062.8	(S(n)+x)	$3^+, 4^+$	505.4	$5^+$

<sup>†</sup> From S(n)-E(level). Explicit  $E\gamma$  values were not listed by 1977St15.

<sup>‡</sup> Placement of transition in the level scheme is uncertain.

$^{181}\text{Ta}(n,\gamma) E=0.002-3 \text{ keV} \quad 1977\text{St15}$ 

## Level Scheme



$^{181}\text{Ta}(\text{n},\gamma)$  E=0.002-3 keV    1977St15

## Level Scheme (continued)

